

## (87) 形式の異なる二つのフィルダムの地震応答について

東北大学工学部 正) 柳沢 栄司  
同 大学院 (学) ○園部 好洋

### ◆ はじめに ◆

1978年宮城県沖地震では、仙台市を中心に多くの震害が発生したが、宮城県黒川郡にある牛野ダム（傾斜心壁型ロックフィルダム）では、堤体被覆に亀裂が入るなどの被害を受けた。一方、センター・コア型のロックフィルダムである樽水ダムでは宮城県沖地震の際に被害を受けない。堤高、堤長ともに大きい樽水ダムに被害がなが、たことは興味深い。そこで筆者らは、堤体材料の応力-ひずみ曲線の非線形性を考慮した地震応答計算を行って、牛野ダムと樽水ダムの応答特性の差異について検討を試みたので、その結果を報告する。

### ◆ 二つのダムの概要 ◆

牛野ダムは、宮城県黒川郡大衡村にある、傾斜心壁型ロックフィルダムで、堤高21.4m、堤長160m、堤敷幅114.7m、天端幅8mである。牛野ダムはロックフィルダムであるが、堤体体積の約43%がコアであり、残りの57%のロックも凝灰岩であるため、転圧時に粉砕されやすく、実質的にアースダムに近い。ダム地盤の対岸距離は、堤高に比して比較的長く、谷の形状は、矩形谷に近くなっている。(図-1)

樽水ダムは、仙台市中心部の西南約10kmの名取市高館にあるセンター・コア型ロックフィルダムで、堤高38.5m、堤長256m、堤敷幅263m、天端幅10mである。コア材は礫混リロームと風化角礫凝灰岩、ロック材は、角礫凝灰岩が主で、安山岩を含んでいる。(図-2)

### ◆ 地震観測結果 ◆

二つのダムとともに、過去に地震観測が行われている。

森ら<sup>(1)</sup>は、牛野ダムで得られた加速度記録をもとにして、牛野ダムの振動性状を明らかにしている。それによると堤体の一次固有周期は、0.24secから0.27secの間にあり、特に0.26secが顕著である。また振動数と振幅比の関係をプロットしたグラフがS、「 $\sqrt{2}$ 分の1」法によつて求めた減衰比は、一次固有周期のところでは、約7.3%である。一方、樽水ダムでは、柳沢・福井<sup>(2)</sup>によつて地震観測が行われた。その結果、堤体の一次固有周期は、0.26sec～0.27secで、0.26secでの減衰比は約5.7%であることが知られている。

### ◆ 解析手法 ◆

本研究では、二つのダムについて、二次元有限要素法を用いて応答解析を行つてある。運動方程式中の質量マトリックスは集中質量型とし、要素のせん断剛性は、上載圧および側圧を考慮して与えた。粘性減衰は、比例減衰  $[C] = \alpha [M] + \beta [K]$  とし、 $\alpha, \beta$  は、自由振動を数種計算して求めた。その結果、両ダムとともに、 $\alpha=0.3$   $\beta=0.006$ としたときの減衰比が、牛野ダムで  $D=0.075$ 、樽水ダムで  $D=0.060$ である。また、ダム上下流方向の変位自由振動から求めた一次固有周期は、牛野ダムで  $t=0.26\text{ sec}$ 、樽水ダムで  $t=0.27\text{ sec}$ である。

解析に用いた非線形応力-歪関係は、Hardin-Drnevich型である。本来、Hardin-Drnevichは、減衰ループについて、特定の関数形を規定していないが、国生<sup>(3)</sup>は、これを修正した形のModified Hardin-Drnevichモデルを提案しており、これによつて、加曲線、減曲線を次ページのように定義した。

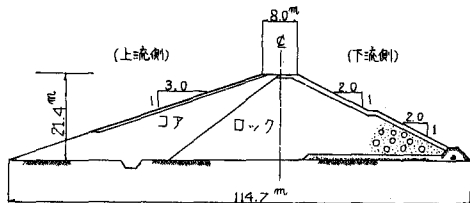


図-1 牛野ダム標準断面

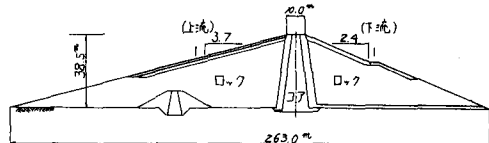


図-2 樽水ダム標準断面

$$\text{加曲線: } \bar{\gamma} - \bar{\gamma}_m = \frac{G_{\max}(\gamma - \gamma_m)}{1 - \frac{\gamma - \gamma_m}{2\gamma_r}} \quad (1)$$

$$\text{減曲線: } \bar{\gamma} + \bar{\gamma}_m = \frac{G_{\max}(\gamma + \gamma_m)}{1 + \frac{\gamma + \gamma_m}{2\gamma_r}} \quad (2)$$

図-4 中の  $G_{\max}$ ,  $\bar{\gamma}_{\max}$  は以下の式によれば、要素ごと求められる。

$$G_{\max} = A \cdot \frac{(2.97 - e)^2}{1 + e} \cdot \sqrt{\gamma_0} \quad (3)$$

$$\bar{\gamma}_{\max} = (\gamma_0 - \frac{C}{\tan \phi}) \sin \phi - \frac{\gamma_0 - \gamma_n}{2} \quad (4)$$

ここに  $\gamma_0$ : 有効拘束圧,  $C$ : 粘着力

$\phi$ : 内部マツツ角,  $\gamma_n$ : 有効上載圧,  $\gamma_n = \gamma_0 \cdot v / (1 - v)$

### ◆ 解析モデル ◆

解析に用いたダムのモデルは、二つのダムともにロックフィル部とコア部からできているものとしている。計算に用いた物性値を表-1, 表-2 に示す。なお、粘着力は両ダムとも、ロック材 0.5 (t/m<sup>3</sup>), コア材 5.0 (t/m<sup>2</sup>)とした。解析にあたって最初に自由振動を計算して、一次固有周期を観測値と一致させた。計算における固有周期に影響するものは、主に単位体積重量とセン断弾性定数であるが、このうち単位体積重量は、樽水ダム工事誌を参考にし、セン断弾性係数は、(3)式により調整して、固有周期を合わせた。有限要素の個数は、樽水ダム 44 個、牛野ダム 32 個、節点数は、牛野ダム 25 個、樽水ダム 32 個である。

### ◆ 牛野ダムの被害状況について ◆

牛野ダムの堤体上流斜面の保護工は捨石張りである。被災箇所は堤体下部の張石の一部であるが、被災の主な特徴は次のとおりである。

- (1) 被害は、堤体上流斜面張石だけに発生している。
- (2) 張石区間の最上部で最大 10 cm の沈下、最上部から 5~6 m 下、た地盤で 10~20 cm の沈下および最大 30 cm のゆきみが認められた。
- (3) 沈下、ゆきみ(崩壊亀裂)、隆起現象はいずれもダム軸に平行に分布している。
- (4) 特に被害が大きかったのはダム中央部である。

なお、樽水ダムには、宮城県地震の際に被害が認められなかつた。

### ◆ 解析結果と考察 ◆

本研究において、入力加速度として用いたのは、1978年宮城県沖地震の際に樽水ダムのギャラリーで得られた、堤軸直角方向の加速度記録である。その波形を図-5 に示す。20 gal 程度の波が 10 sec ほど続いた後に、

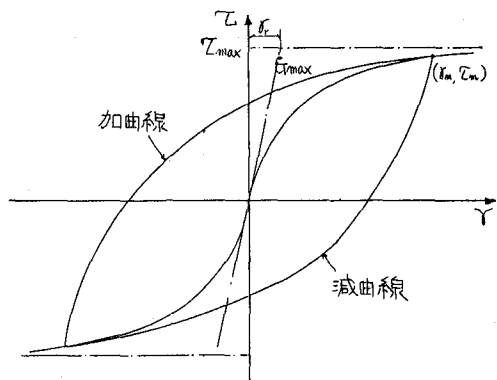


図-4 Modified Hardin-Drnevich Model

|        |     |                          |
|--------|-----|--------------------------|
| 単位体積重量 | ロック | 1.90 (t/m <sup>3</sup> ) |
|        | コア  | 1.70 (t/m <sup>3</sup> ) |
| ポアソン比  | ロック | 0.32                     |
|        | コア  | 0.48                     |
| 内部マツツ角 | ロック | 30°                      |
|        | コア  | 10°                      |
| 間隙比    | ロック | 0.70                     |
|        | コア  | 0.90                     |

表-1 牛野ダム材料物性

|        |     |                          |
|--------|-----|--------------------------|
| 単位体積重量 | ロック | 2.20 (t/m <sup>3</sup> ) |
|        | コア  | 2.00 (t/m <sup>3</sup> ) |
| ポアソン比  | ロック | 0.30                     |
|        | コア  | 0.45                     |
| 内部マツツ角 | ロック | 35°                      |
|        | コア  | 10°                      |
| 間隙比    | ロック | 0.68                     |
|        | コア  | 0.85                     |

表-2 樽水ダム材料物性

突然大きな波が現われていいことが特徴となる。上下方向へは入力していない。最大加速度は  $187 gal$  である。両ダムとも震央までの距離が  $150 km$  ほどで、ほぼ一定であるから、修正は行わない。

この記録を入力波として用いた非線形計算の結果を次に示す。図-6は、牛野ダム堤頂（上流側）の応答変位であり、図-7は、樽水ダムの応答変位である。牛野ダムで  $12 cm$ 、樽水ダムでは  $25 cm$  の最大変位が認められる。しかし、堤高に対する最大応答変位の比率は、両者ともほぼ等しいので、これは明らかに堤高の差異によるものであると考えられる。図-8は、牛野ダムの応答加速度、図-9は、樽水ダムの応答加速度である。最大応答値は、牛野ダムで  $940 gal$ 、樽水ダムで  $1045 gal$  となる。応答加速度の波形は、ピーカ付近でひじょうに大きな値となるが、これは図-4のような履歴曲線を用いているために、応答加速度がピーカになる付近では、ほとんどの要素のヒズミの方向が逆転しセン断定数が急激に大きくなっていることによると思われる。従って、最大加速度応答値は瞬間に発生するので、変位応答にはほとんど影響をおよぼしていないことがわかる。

図-10、図-11は、両ダムの堤頂付近のコア材に発生するセン断ひずみの波形である。牛野ダムのコア部のセン断ひずみは、樽水ダムのコア部のセン断ひずみの約4倍になる。一方、セン断応力は、最大値が牛野ダムのコアのほうが若干小さいが、ほぼ同レベルである。応答変位は樽水ダムのほうが大きいが、セン断ひずみが小さいのは次のようない由によると思われる。セン断ひずみは、三角形要素の接点の相対的な変位に直接に結びつくものである。すなまち、牛野ダムでは、三つの接点の相対的な変位が大きく、セン断ひずみが大きくなることと考えられ、コア部と、ロック材が一体となつて振動していないことを示していよいよある。これに対して、樽水ダムは、コア材が、両側からロック材に押さえられており、そのためコアの振動がロックの振動と一体となつておらず、セン断ひずみが小さいことがあら。

以上のように、セン断応力がほぼ同レベルで、セン断ひずみが大きいのは、材料特性の差によるものであるが、堤高、堤長とともに大きな樽水ダムで、応答変位が大きいにもかかわらず、セン断ひずみが小さいことがわかる。

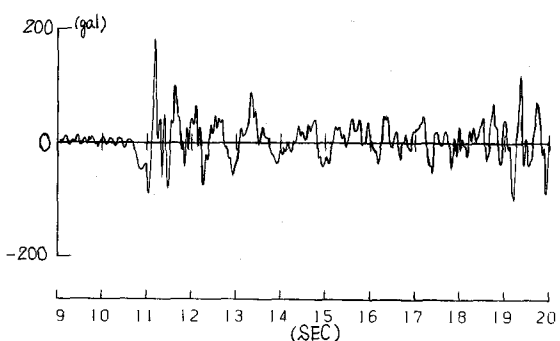


図-5 入力加速度

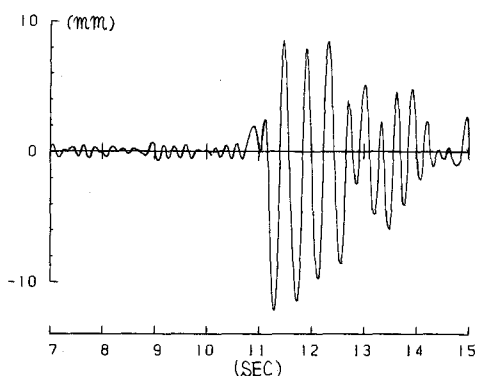


図-6 牛野ダム堤頂応答変位

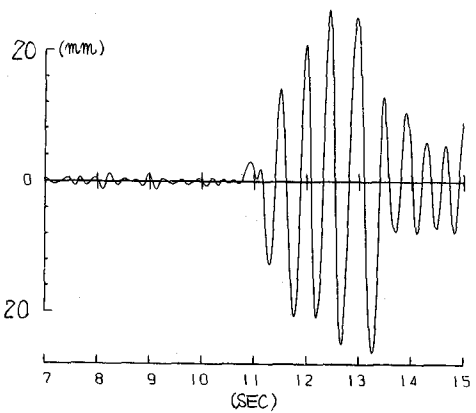


図-7 樽水ダム堤頂応答変位

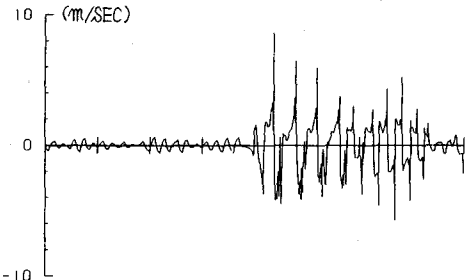


図-8 牛野ダム堤頂応答加速度

牛野ダムのような傾斜心壁型のダムは、コア材が表面近くにあり、地震の際には、ロック材と一緒に振動せず、コア材のせん断ひずみが大きくなると考えられる。一方、樽水ダムは、コア材がロック材に埋められる構造によって、コア材のせん断ひずみが小さくなることと考えられ、地震に対しては、センターコア型のダムのほうがまさっているのではなきかと思われる。

#### ◆ おわりに ◆

本研究は、二次元有限要素法を用いた非線形応答計算を用いて、タイプの異なる二つのダムの振動性状について考察したものであるが、フィルダムの挙動を解析するためには、谷の三次元的な影響や基盤条件等を考慮しなければならない。また、入力波として用いた樽水ダムの記録は、堤体の振動の影響も含んでおり、入力波として適切かどうかの問題もある。今後、フィルダムの地震時挙動をより正確に追跡するためには、以上のようなことを考慮に入れた三次元的解析が必要であると思われる。

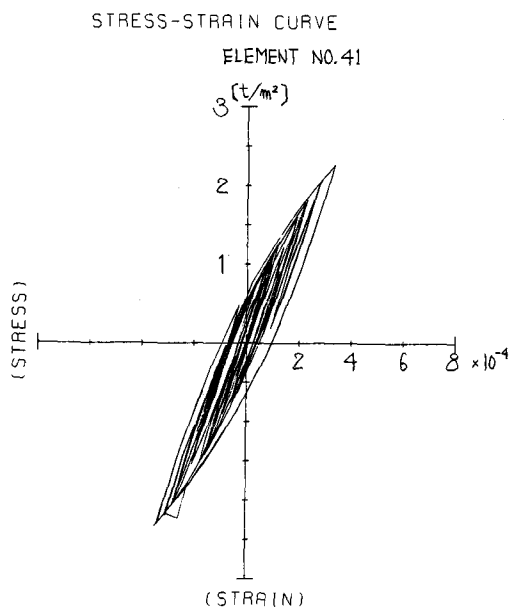


図-12 応力-ひずみ曲線の例

#### (参考文献)

- (1) 森；「フィルタイダムの地震時応答特性との耐震設計への応用に関する研究」、東北大学博士学位論文
- (2) 柳沢、福井、佐々木；「樽水ロックフィルダムの地震観測と応答解析」、第14回国土工学研究発表会講演集
- (3) 国生、桜井；「Modified Hardin-Drnevich モデルについて」、土木学会第33回年次講演会第3部
- (4) 土木学会；「1978年宮城県沖地震調査報告書」

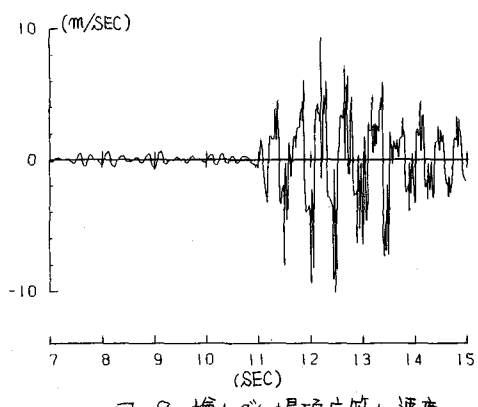


図-9 樽水ダム 堤頂応答加速度

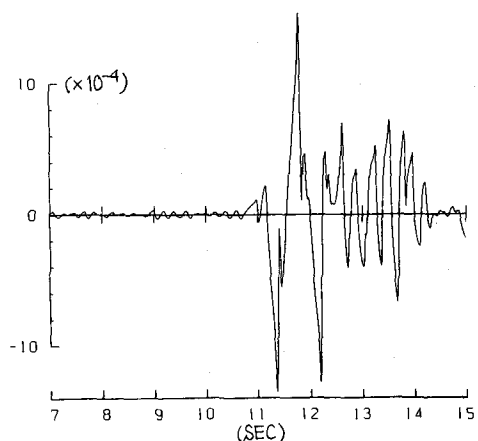


図-10 牛野ダム コア部せん断ひずみ

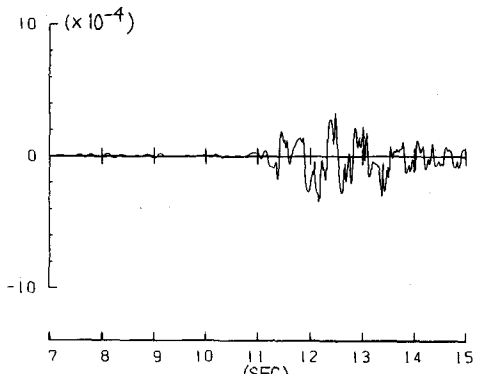


図-11 樽水ダム コア部せん断ひずみ